

土石流が構造物に作用する衝撃力

立命館大学理工学部 正員 大同淳之

1. はじめに。 土石流発生時に、砂防ダム等河川構造物の破壊が見られる。著者の観察例では、堤体が大きなブロック状に切断されている。あるいはダムの下部が底抜け状に流失し基礎地盤も同時に流出、洗掘されている。破壊の原因として、外力の予想以上の大きさと堤体施工接合の不備、ダムと境とする土砂堆積圧の変化による地盤流失から生じるダム不安定が原因とも考えられる。堆積圧による地盤の運動について著者が検討した結果¹⁾では、急な配の河道での可能性があるが、通常のこう配のところでは可能性が低いという結果が得られた。他方、外力については、たとえ施工が不備であつたとしても、かなり大きい外力が作用したと予想できる。

この被害を防ぐ対策として、外力の推進と部材応力の充てんがある。衝撃を受ける部材応力については研究²⁾があるが、外力についてはあまり研究されていない。これは構造物前面の土石流の運動量を正確に把握できれば求められるという点そのためであろう。著者もこの点を考慮して、土石流の衝撃力を求めた。³⁾しかし、衝撃力が運動量の変化で表されるのは、物質内部の質量に時間的、場所的変化が生じない場合である。しかし土石流の場合、堤体に衝突時に流体密度の変化が生じ、それに生じる応力が堤体に作用すると考えられ、この場合の衝撃力は、流体としての運動量の変化から算定されるものより大きくなると予想される。さらに土石流の性質がマス・ムーブメントに近いものと流体に近いのでは、密度変化の生じる機構あるいは運動量変化を求める支配領域のとり方に違いを生じるはずである。

本文は、この機構を調べるためにして、砂れきの水の流れと壁に衝突させたときの衝撃力を測定し、測定値とともに衝突面における流体物性の変化を調べたものである。

2. 土石流による衝撃圧の形成機構

1) 土石流がマス・ムーブメントとしている場合

密度 ρ_s の固体状の土石流が壁面に衝突したとき、衝突面で固体状内部に圧密が生じ、密度が増加して ρ_{smax} に達し、この層が急激に上流側に発達すると考えられる。一方、この ρ_{smax} の層の表面に作用する応力 σ_m によって層は破壊し、せん断流動して方向を変えるこの層に作用する σ_m が、衝撃力としてセンサーに伝わられ、センサーの面積を A とすると $\sigma_m A$ となる。 σ_m は砂れきの間隔比に関係する値である。

2) 土石流の砂れき濃度が低く、砂れき粒子が流れの中に分散している場合

この場合でも(1)と同じことが考えられるが、圧密に要する時間が、衝撃圧をピークとする時間間隔よりも大きいと考えられるところから、1個または数個の砂れきの衝突による運動量変化による力が表されるものと予想される。

3. 実験の方法

1) 実験方法、幅 0.1 m, 深さ 0.2 m, 長さ 2.0 m の水路の下流端に、圧力センサーを取り

DAIDO Atsuyuki

に金属板をおき、センサーから 0.9 m の位置にある仕切板の背後に砂れきをおき、仕切板を除いて自由落下させて金属板に衝突させた。実験こう配は 34° $40'$ ~ $41^\circ 45'$ の範囲で、センサー取付位置は底面より粒径の 1.3 ~ 1.67 倍の高さと、それが 4 cm になした場合である。

2) 圧力センサー 容量 10 kg/cm^2 の圧力計で、圧力変化をトランジエントメモリーに記録した後、ペンオシロに描かせた。センサーの精度は静的荷重で検査した。

3) 使用砂れきとその流動状態 砂れき中央径 d は 0.5, 0.8, 1.8 cm ではほぼ一様径で、表面摩擦を一定にするため表面がぬれた状態で用いた。流下する流れの前面は傾斜を有し、砂れきは集合流動ではなく、個々の粒子の運動は活発で、ときには飛び出た砂れきが個別に衝突する場合もある状態である。れきの流下速度、流動写すはビデオで、容積濃度は下流端で測定した砂れき重量より求めた。流下中の容積濃度は 29% 程度である。したがって流れは 2 の 2) に属するものである。

砂れきは傾斜した前面の下部が金属板に衝突したのち、金属板に沿って上昇する流れが生じ、上段のセンサー附近では、段波が到達する次前に上昇流でセンサー前面が覆われる形となり、その上昇流のフッショーン作用か、上段の圧力は常に下段のそれに対してかなり小さい値を示す。測定された下段の圧力の一例を図 2 に示す。衝突後、すななくピークが $\Delta t = 0.43 \times 10^{-3} \text{ sec}$ の短時間に発生して、すぐ減少し、次と若干の圧力を示すのが一般的なパターンである。

4. 実験の結果の考察 測定圧力値は、容積濃度 29% の流れの運動量変化あるいは 1 個の砂れきが衝突した力よりも大きい。また 2 の 1) に示した $O_m A$ と表されるには、 O_m が通常予測する値よりも大きいと考られることがあることから、妥当でない。したがって、平均濃度 29% の流れでも、下段センサー高さの領域では濃度が高く、金属板前面で粒子が最充填状態となり、いくつかの粒子が集団として衝突すると考られる。圧力から逆算された、センサーに作用するれきの相対重さ ρ/d は、流速、流動深さとはあまり相関がない。統計的に整理した結果は図 3 に示すように粒径の 3 ~ 5 倍分に相当する重さに相当する量が集団として衝突している場合が多いことを示した。

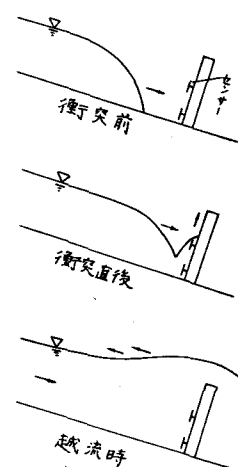


図 1. 砂れき衝突のパターン

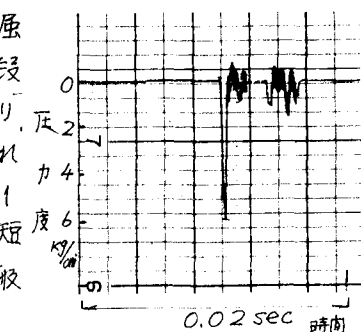


図 2. 圧力測定例(1例)

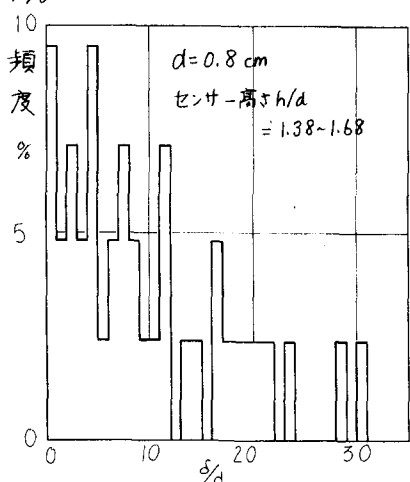


図 3. センサーに作用した砂れきの相対重さ

1) 大同淳之: 砂やダムに及ぼす土石流の作用: 第 19 回 自然災害科学シンポジウム, 1982

2) 建設省土木研究所: 富士山土石流衝撃力実験報告書 I・II・III 土研資料 55~57 年

3) 宮原邦明, 大同淳之: 堤体に作用する土石流段波の衝撃力に関する研究 I, 立命館大理工研昭和, 1984.